

1/6
Xiaomeng Chen, et al
BUR920020123US2

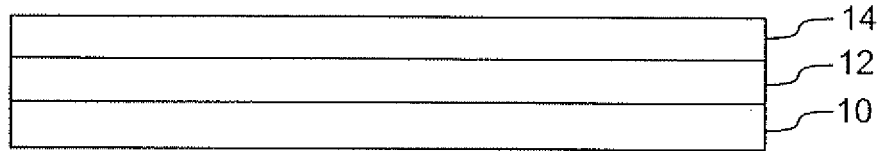


FIG. 1a

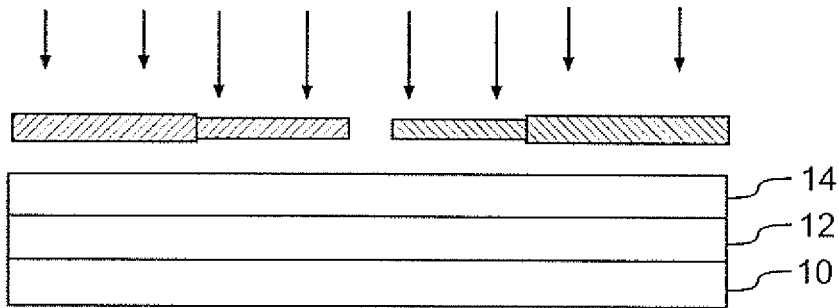


FIG. 1b

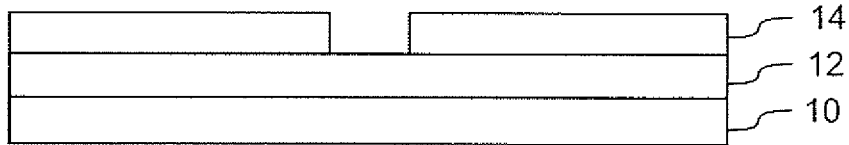


FIG. 1c

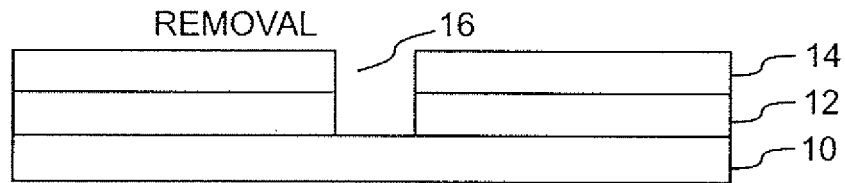


FIG. 1d

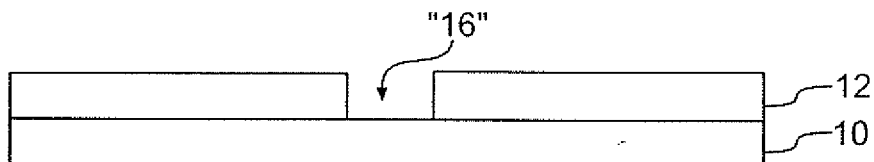


FIG. 1e

2/6
BUR920020123US2

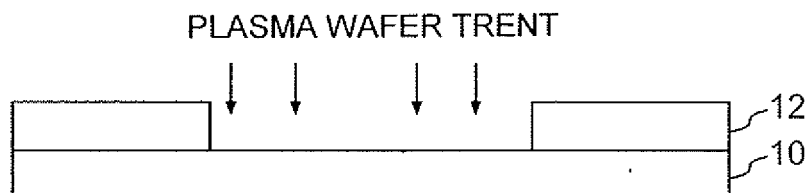


FIG. 2

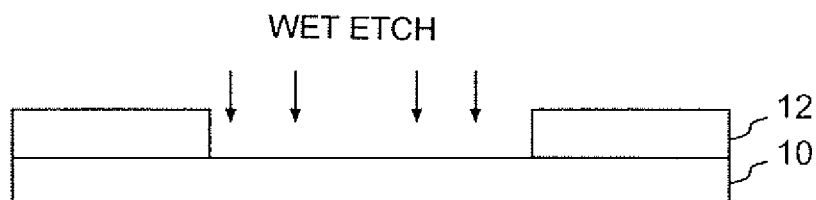


FIG. 3a

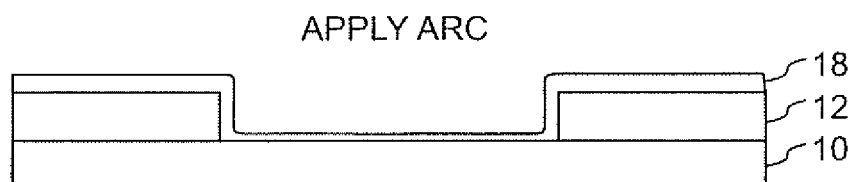


FIG. 3b

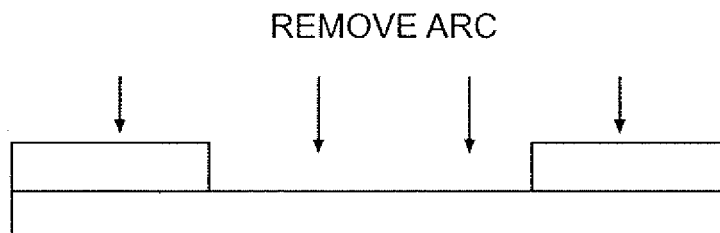


FIG. 3c

3/6
BUR920020123US2

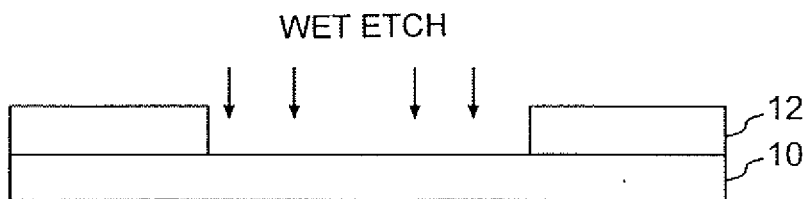


FIG. 4a

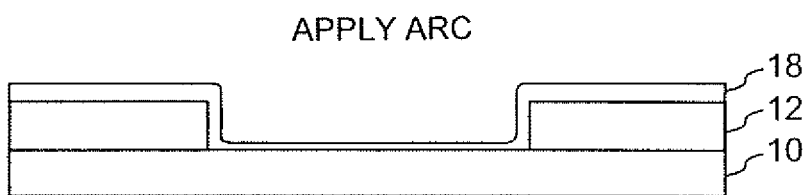


FIG. 4b

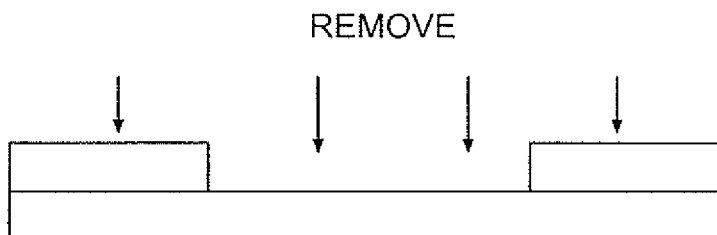


FIG. 4c

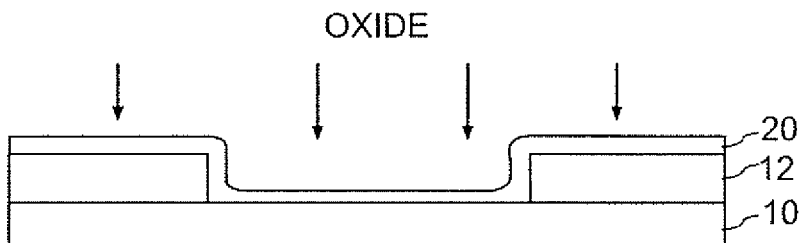
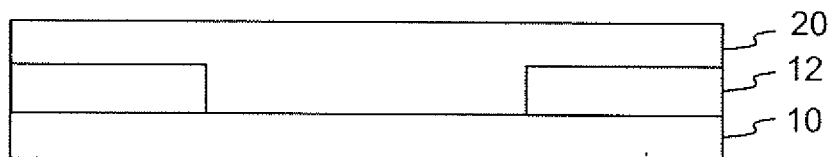
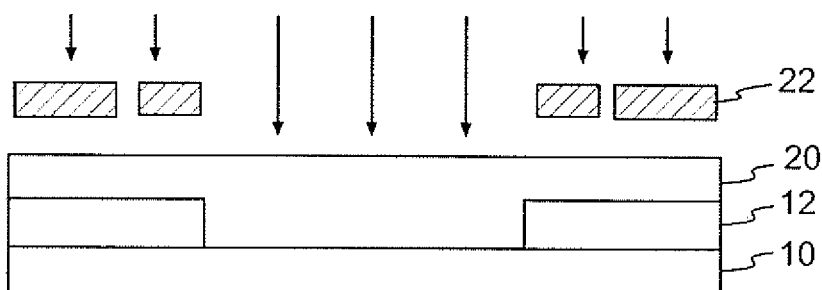
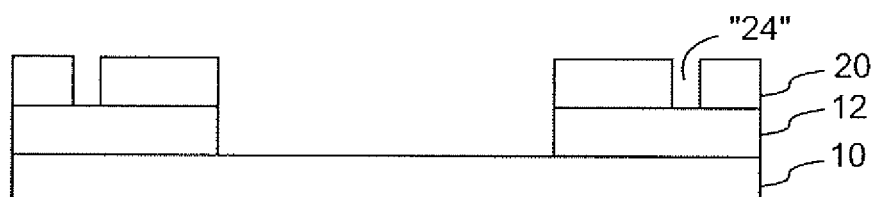
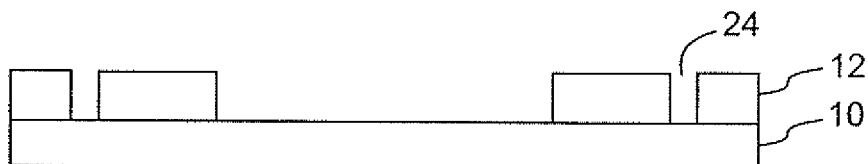
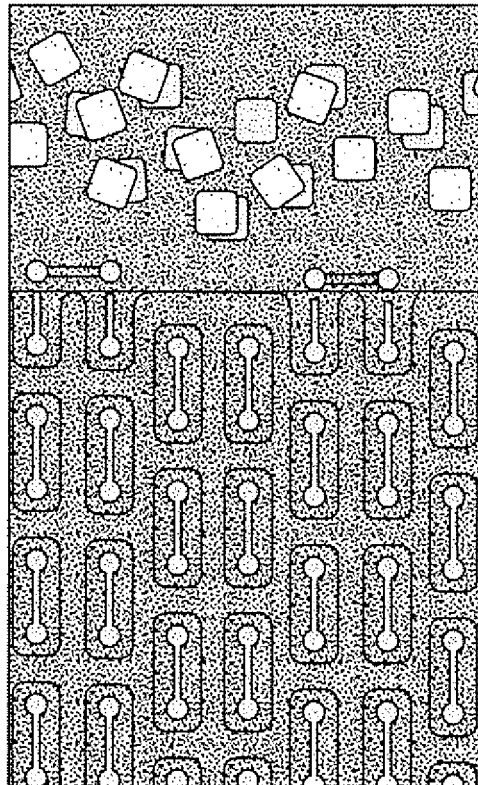


FIG. 4d

**FIG. 5a****FIG. 5b****FIG. 5c****FIG. 5d**

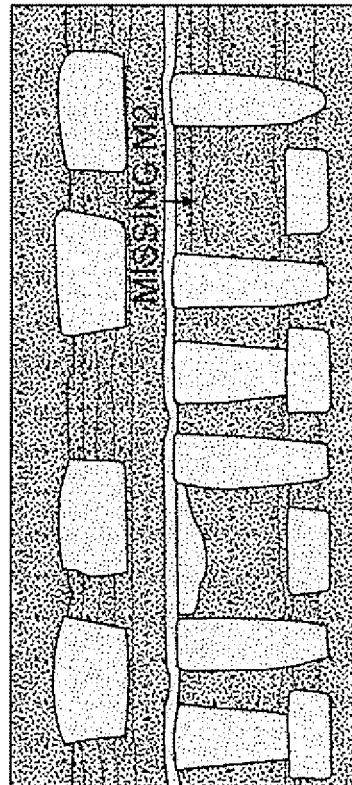
5/6
BUR920020123US2

FIG. 6a



TOP

FIG. 6b



CROSS-SECTION

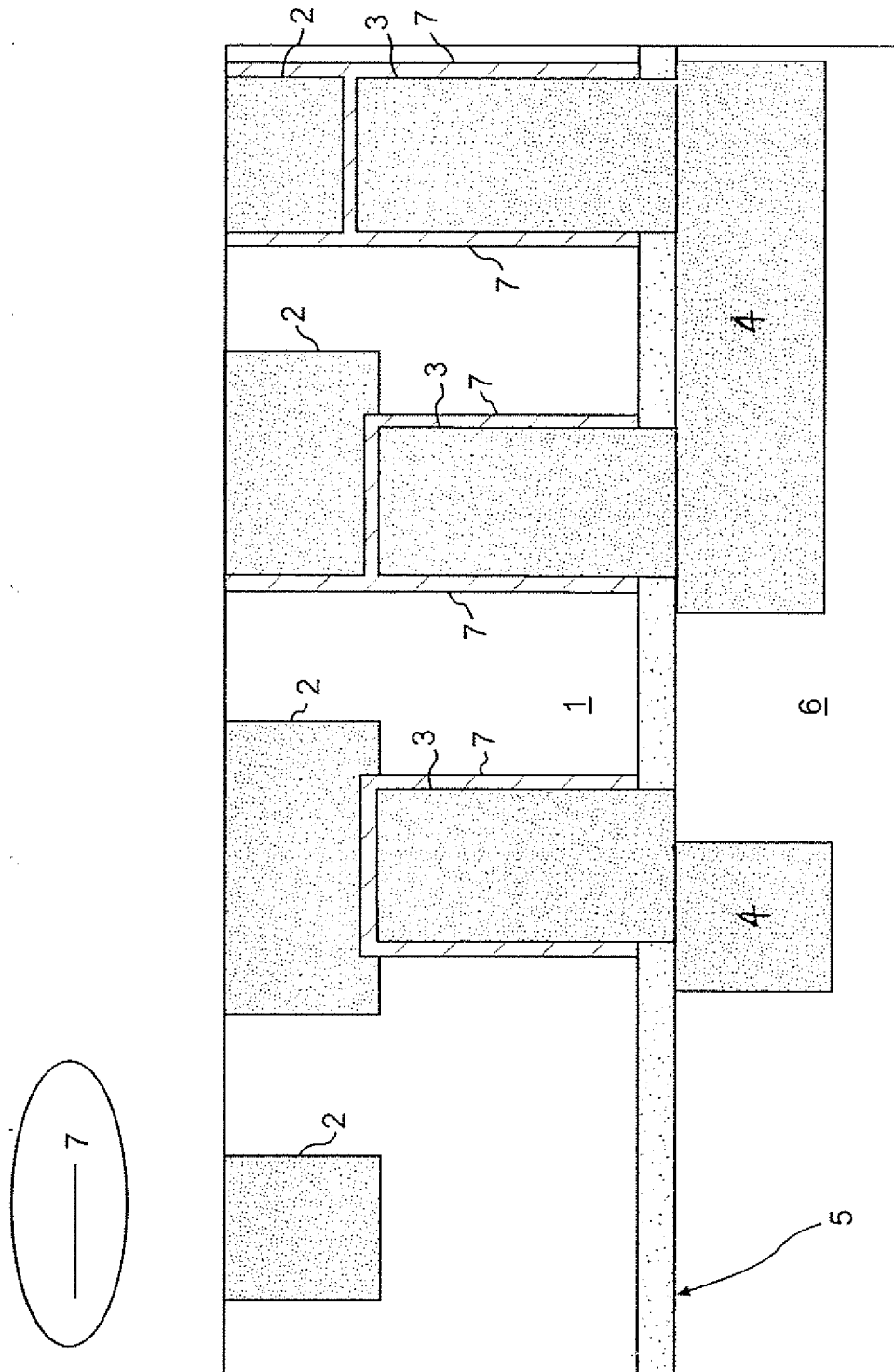


FIG. 7